

# جدازای کور مدولاسیون‌های مخابراتی با استفاده از بردارهای ماشین تکیه‌گاه

سعید شعریاف تبریزی، مرتضی خادمی و محمد مولوی کاخکی

اطلاعات از فرستنده سیگنال و غیره دخیل می‌باشد که نقش اساسی در عملکرد این سیستم ایفا می‌کنند. به همین دلیل است که مقایسه نتایج الگوریتم‌های مختلف تنها در شرایط کاملاً مشابه محیطی امکان‌پذیر است.

روش‌های تشخیص مدولاسیون را می‌توان به دو گروه عمده تقسیم کرد. در تکنیک اول که موسوم به روش‌های تصمیم‌گیری نظری<sup>۱</sup> است، اغلب برای طبقه‌بندی مدولاسیون از معیارهای آماری چون تخمین گر بیز [۱]، تخمین گر بیشترین شباهت [۲] و یا سطوح آستانه ثابت و متغیر بهره گرفته می‌شود [۳]. اما در تکنیک دوم، با نگاشت سیگنال به فضای ویژگی و با بهره‌گیری از مزایای الگوریتم‌های تشخیص الگو<sup>۲</sup> چون شبکه عصبی [۴]، عملیات تشخیص مدولاسیون صورت می‌گیرد. در این مقاله هدف این است که با استفاده از ۹ ویژگی استخراج شده از سیگنال، بر مبنای تکنیک تشخیص الگوی آماری و بدون نیاز به هیچ گونه شناخت اولیه از پارامترهای فرستنده، ۹ مدولاسیون پرکاربرد مخابراتی شامل ۵ مدولاسیون دیجیتال ۲-ASK، ۲-FSK، ۲-PSK، ۴-PAM و SSB و ۹-QAM و ۴ مدولاسیون آنالوگ AM، FM، DSB و شناسایی شوند.

عملیات تشخیص در دو فاز صورت می‌گیرد. در مرحله اول، ۴ مدولاسیون دیجیتال ۲-ASK، ۲-FSK، ۲-PSK و ۹-QAM با استفاده از یک ویژگی استخراجی از پوش سیگنال، توسط طبقه‌بندی کننده SVM از هم جدا می‌شوند و نتایج کار با طبقه‌بندی کننده پسیار متداول و پرکاربرد سطح آستانه‌ای [۵] مقایسه می‌گردد. در انتهای این مرحله، ساختار طبقه‌بندی کننده SVM با استفاده از الگوریتم ژنتیک و با دو معیار متفاوت بهینه‌شده و نتایج با ساختار اولیه غیر بهینه مقایسه می‌شود. ساختار معرفی شده در این مرحله در مقایسه با سایر روش‌های تشخیص مدولاسیون و در شرایط مشابه (که در آنها نیز از فرستنده هیچ شناختی نداریم) دقت تشخیص بالاتری داشته و برتری قابل توجهی بر آین گونه تکنیک‌ها از خود نشان داده است.

در فاز دوم، تمامی ۹ مدولاسیون موجود در محیط، به وسیله ساختارهای سلسله مراتبی و غیر سلسله مراتبی از طبقه‌بندی کننده SVM تشخیص داده می‌شوند. در انتهای این مرحله نیز با انتخاب بهینه ویژگی در ساختار سلسله مراتبی با استفاده از الگوریتم ژنتیک، عملکرد طبقه‌بندی کننده و به تبع آن درصد تشخیص مدولاسیون‌ها بهبود می‌یابد. بلاک دیاگرام کلی نحوه عملکرد در شکل ۱ آمده است که در ادامه هر یک از بلوک‌ها جدایانه مورد بررسی قرار گرفته و به جزئیات شبیه‌سازی آنها اشاره خواهد شد.

**چکیده:** در این مقاله سیستمی برای تشخیص نوع مدولاسیون پیشنهاد می‌شود که قادر است بدون شناخت اولیه از پارامترهای سیگنال ارسالی، ۹ مدولاسیون از خانواده مدولاسیون‌های فاز، دامنه و فاز-دامنه را شناسایی کند. برای تشخیص، طبقه‌بندی کننده SVM پیشنهاد شده است. پیچیدگی محاسباتی کم، سرعت آموزش بالا و درصد تشخیص بالاتر نسبت به سایر روش‌های تشخیص مدولاسیون مانند سطوح آستانه ثابت و متغیر و شبکه‌های عصبی، از مزایای روش پیشنهادی به شمار می‌آیند. نتایج شبیه‌سازی نشان می‌دهد که استفاده از ساختارهای سلسله مراتبی از طبقه‌بندی کننده SVM نیز می‌تواند به بهبود عملکرد بیانجامد. در این مقاله، استفاده از الگوریتم ژنتیک در بهینه‌سازی ساختار طبقه‌بندی کننده و نیز انتخاب بهینه ویژگی‌های مورد استفاده در ساختار سلسله مراتبی، سبب افزایش قابل ملاحظه دقت تشخیص مدولاسیون‌ها گردیده است.

**کلید واژه:** الگوریتم ژنتیک، بودار ماشین تکیه‌گاه، تشخیص مدولاسیون، تشخیص الگو.

## ۱- مقدمه

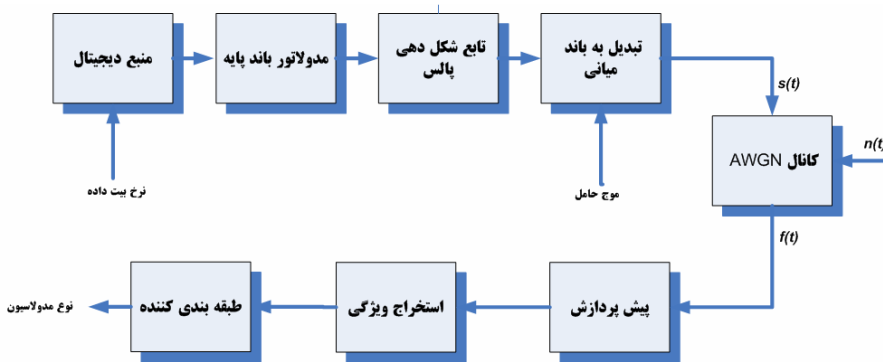
شناسایی خودکار نوع مدولاسیون، مرحله‌ای بین آشکارسازی سیگنال و دمودولاسیون آن می‌باشد. این بخش، می‌تواند نوع مدولاسیون سیگنال دریافتی را در بین تعدادی مدولاسیون از پیش فرض شده، تشخیص دهد. شناسایی نوع مدولاسیون، کاربردهای فراوانی در زمینه‌های نظامی و غیر نظامی دارد که با گسترش حوزه مدولاسیون‌ها، به ویژه مدولاسیون‌های دیجیتال، اهمیت روزافزونی نیز یافته است. در بعد نظامی، تشخیص مدولاسیون می‌تواند در حالت کلی برای اهداف یک سیستم جنگ الکترونیک مفید باشد. کاربردهایی چون سیستم‌های تشخیص و تعیین هشدارهای الکترونیکی (به عنوان مثال سیگنال رادار موشک دشمن) و نیز طراحی سیستم‌های ایجاد داخل، تنها گوشاه‌ای از کاربردهای این دانش است. در بعد غیر نظامی می‌توان به کاربردهایی چون تأیید سیگنال، تأیید داخل، مدیریت طیف، تشخیص فرستنده‌های غیر مجاز و سیستم‌های رادیویی نرم‌افزاری اشاره کرد.

در بررسی عملکرد یک سیستم شناساگر مدولاسیون، پارامترهای زیادی چون درصد موفقیت عملیات تشخیص، شرایط و نوع کanal، مجموعه مدولاسیون‌های موجود در محیط، وجود و یا عدم وجود بازنگری شد.

سعید شعریاف تبریزی، دانشکده مهندسی، دانشگاه فردوسی مشهد، مشهد  
(email: sa\_sh13@um.ac.ir)

مرتضی خادمی، دانشکده مهندسی، دانشگاه فردوسی مشهد، مشهد  
(email: khademi@um.ac.ir)

محمد مولوی کاخکی، دانشکده مهندسی، دانشگاه فردوسی مشهد، مشهد  
(email: molavi@um.ac.ir)



شکل ۱: بلاک دیاگرام مراحل شبیه‌سازی الگوریتم تشخیص مدولاسیون.

است. سیگنال باند میانی  $s(t)$  را در حالت کلی می‌توان با (۲) مدل‌سازی کرد

$$s(t) = A(t) \cos(\Phi(t)) \quad (2)$$

که در آن  $A(t)$  دامنه لحظه‌ای،  $\Phi(t) = 2\pi f_c t + \varphi(t) + \theta$  فاز لحظه‌ای،  $f_c$  فرکانس حامل،  $\varphi(t)$  زاویه لحظه‌ای و  $\theta$  فاز اولیه حامل می‌باشد. در این مقاله تمامی پارامترهای ذکر شده از سیگنال ارسالی نامعلوم بوده و در صورت نیاز می‌بایست از روی سیگنال دریافتی  $f(t)$  تخمین زده شوند.

### ۳- استخراج ویژگی

در همه مسائل مبتنی بر تشخیص الگو ابتدا می‌بایست عملیات استخراج ویژگی صورت پذیرد. ویژگی‌های استخراج شده باید نسبت به تغییرات سیگنال به نویز و اثرات ناشی از کانال کمترین حساسیت را دارا بوده و حتی‌الامکان از پیچیدگی محاسباتی کمی نیز برخوردار باشند. در این مقاله در فاز اول از یک ویژگی برای انجام عملیات تشخیص استفاده شده است. این ویژگی که به صورت مستقیم از روی پوش سیگنال استخراج می‌شود، دارای پیچیدگی محاسباتی بسیار کم بوده و به تنها یک توانایی جداسازی هر ۴ مدولاسیون مرحله اول را دارا می‌باشد. تعریف این ویژگی عبارتست از [۵]

$$J = \frac{E\{A^*(t)\} - 2E\{A^*(t)\}}{4s^3} \quad (3)$$

که در آن  $A(t)$  دامنه لحظه‌ای سیگنال باند میانی دریافتی و  $s$  توان سیگنال ارسال شده می‌باشد. مزیت اصلی این ویژگی این است که با توجه به نحوه تعریف آن، اثر نویز به صورت نظری کاملاً حذف شده و در عملیات تشخیص اثری نخواهد داشت. البته در شبیه‌سازی‌ها، فرض‌های نظری کاملاً برقرار نبوده و از همین رو نویز عامل مهمی در محاسبه دقت تشخیص و عملکرد سیستم خواهد بود.

برای محاسبه  $J$  به توان سیگنال ارسال شده نیاز می‌باشد که با توجه به فرض مقاله در نامعلوم بودن پارامترهای سیگنال، می‌بایست از روی سیگنال دریافتی تخمین زده شود. برای تخمین توان سیگنال ارسالی از روش تجزیه مقدار تکین<sup>(۱)</sup> (SVD) ماتریس خودهمبستگی سیگنال استفاده شده است [۶]. این روش برخلاف اغلب الگوریتم‌های موجود برای تخمین توان، نیازی به دانستن پارامترهای سیگنال ارسالی ندارد و می‌تواند برای تخمین توان هر سیگنال دارای پوش غیر ثابت در کانال AWGN به کار رود.

## ۲- مدل سیگنال

به منظور تحلیل عملکرد سیستم تشخیص مدولاسیون، به طور طبیعی نیازمند سیگنال‌هایی هستیم که از پیش نوع مدولاسیون آنها را می‌دانیم. این سیگنال‌ها می‌توانند به عنوان داده‌های آموزشی مورد استفاده قرار گیرند یا به عنوان داده‌های آزمایش، معیاری از عملکرد سیستم را به ما نشان دهند. عملیات تولید سیگنال به صورت مصنوعی و با استفاده از جعبه ابزار مخابرات نرم‌افزار MATLAB صورت گرفته است، اگرچه در برخی مقالات از منابع سیگنال آزمایشگاهی یا منابع سیگنال موجود در سایت‌های اینترنتی نیز استفاده شده است.

در این مقاله، شرایط تولید سیگنال و مقادیر پارامترهایی چون نرخ بیت، فرکانس نمونه‌برداری، فرکانس حامل، طول فریم ورودی و غیره را کاملاً مشابه [۵] انتخاب می‌کنیم تا امکان مقایسه عادلانه در فاز اول دیجیتال از یک رشته بیت مزبور با نرخ بیت ۱۲/۵ کیلوهرتز مشابه [۵] استفاده شده است. رشته بیت مزبور به صورت تصادفی یکنواخت بوده و در مورد هر فریم مدوله شده حاوی پیام متفاوتی می‌باشد که کاملاً با کاربردهای عملی تطبیق دارد. از آنجا که همواره در شرایط واقعی و نیز در شبیه‌سازی سیگنال‌ها با نمونه‌های گسته سر و کار داریم، بنابراین مجبور به انجام عملیات نمونه‌برداری می‌باشیم. فرکانس نمونه‌برداری برابر ۱۲/۵ مگاهرتز می‌باشد [۵].

با وجود اینکه در اکثر مقالات تشخیص مدولاسیون، سیگنال‌های مدوله شده در باند پایه تولید و بررسی شده‌اند و بنابراین فرض دانستن فرکانس حامل به صورت ضمنی در همه آنها وجود دارد، در این مقاله به منظور تحقق فرض کوربودن اطلاعاتی، سیگنال‌ها را در باند میانی تولید نموده‌ایم. فرکانس حامل انتخاب شده، ۱۵۰ کیلوهرتز برای کلیه مدولاسیون‌ها بوده که منطبق با شرایط تولید سیگنال در [۵] می‌باشد.

کانال مخابرایی به صورت AWGN یعنی کanal حاوی نویز سفید گوسی جمع‌شونده، مدل شده که نسبت سیگنال به نویز کانال در همه سیگنال تولید شده نهایی، سیگنالی در باند میانی خواهد بود که با نویز گوسی سفید مخلوط شده و در حالی که هیچ اطلاعاتی از فرستنده آن در دست نیست، وارد بلاک گیرنده می‌گردد. هر سیگنال تولید شده به صورت یک فریم زمانی با ۲۰۴۸ نمونه می‌باشد [۵].

سیگنال دریافتی باند میانی در حالت کلی به صورت (۱) است

$$f(t) = s(t) + n(t) \quad (1)$$

که  $(t)$  سیگنال ارسالی با مدولاسیون نامشخص و  $n(t)$  نویز سفید گوسی جمع‌شونده با واریانس  $\sigma_n^2$  و ناهمبسته با سیگنال فرض شده

جدول ۲: ویژگی‌های استخراج شده برای فاز دوم.

ویژگی	توضیحات
$R$	نسبت واریانس دامنه لحظه‌ای به محدوده میانگین آن
$P$	تفاضل نرمال شده توان در کنار باندهای بالا و پایین سیگنال
$r_{\max}$	ماکریم مقدار چگالی طیف توان در دامنه لحظه‌ای نرمال
$r_{\max-th}$	ماکریم مقدار چگالی طیف توان در دامنه لحظه‌ای
$\sigma_{aa}$	انحراف معیار دامنه لحظه‌ای نرمال شده
$\sigma_{ aa }$	انحراف معیار مقدار مطلق دامنه لحظه‌ای نرمال
$\sigma_{aa-th}$	انحراف معیار دامنه لحظه‌ای نرمال داده‌های غیر ضعیف
$\sigma_{ aa -th}$	انحراف معیار مقدار مطلق دامنه نرمال داده‌های غیر ضعیف

## ۴- پیش‌پردازش

امروزه، طراحان سیستم‌های تشخیص الگو، تکنیک‌های زیادی برای بهینه‌سازی عملیات طبقه‌بندی پیشنهاد می‌کنند. یکی از تکنیک‌های بسیار متداول، انجام پیش‌پردازش‌هایی چون فیلترینگ به منظور بهبود عملکرد سیستم تشخیص مدولاسیون و بالابردن دقت تشخیص آن می‌باشد. یک ویژگی ایده‌آل دارای دو خصوصیت مهم است. اول آنکه مقدار ویژگی به ازای سیگنال به نویزهای مختلف تعییری نمی‌کند و دوم آنکه مقدار ویژگی برای هر یک از کلاس‌ها (انواع مدولاسیون) با کلاس دیگر کاملاً متفاوت است. البته موارد دیگری چون پیچیدگی محاسباتی کم و استقلال ویژگی‌ها نیز در کیفیت یک ویژگی مؤثر است. در عمل هرچه ویژگی‌های استخراج شده به این حالت ایده‌آل نزدیک‌تر باشند، مستقل از نوع طبقه‌بندی کننده‌ای که استفاده می‌شود، قطعاً دقت عملیات تشخیص بالاتر خواهد بود. بدین منظور اگر میانگین مقدار یک ویژگی را بر حسب SNR در کلاس‌های مختلف رسم کنیم تا حد زیادی به کیفیت ویژگی تعریف شده پی‌خواهیم برد. به منظور اینکه ویژگی انتخاب شده عملکرد مناسبتری در جداسازی مدولاسیون‌ها داشته باشد، می‌بایست تا حد امکان فاصله کلاس‌ها در فضای ویژگی پیشنهاد می‌شود. برای نیل به این مقصود، روش‌های مختلفی پیشنهاد می‌شود که ساده‌ترین و کاربردی‌ترین راه، فیلتر کردن سیگنال دریافتی به منظور کاهش اثر نویز می‌باشد.

برای انجام عملیات فیلترینگ می‌بایست پنجره ورودی از سیگنال باند میانی، قبل از عملیات استخراج ویژگی از یک فیلتر باند میانی عبور کند. به هر میزان که در عملیات فیلترینگ توان نویز کم شود، می‌توان امیدوار بود که درصد تشخیص به همان نسبت افزایش یابد. متأسفانه انتخاب دقیق محلوده فیلترشدن نیاز به پارامترهایی چون پهنای باند سیگنال ارسالی و فرکانس حامل دارد که باز هم طبق فرض مسئله در دست نیست. بدین منظور سعی شده است تا با تخمین فرکانس حامل، محدوده تقریبی فیلترشدن را مشخص کنیم. انتخاب صحیح پارامترهای فیلتر نقش اساسی در این کار دارد زیرا در صورت انتخاب اشتباه محدوده فیلترشدن، امکان دارد سیگنال اصلی نیز حذف شود که قطعاً مضر خواهد بود. از آنجا که به طور معمول فرکانس حامل بسیار بیشتر از دو برابر پهنای باند سیگنال ارسالی می‌باشد، بنابراین بازه  $(f_c - 0.5f_c, f_c + 0.5f_c)$  به عنوان محدوده فیلترینگ انتخاب شده که قطعاً از پهنای باند سیگنال‌های دریافتی بیشتر است و خطراً حذف سیگنال وجود ندارد.

برای تخمین فرکانس حامل از روی سیگنال دریافتی، از تخمین LSE فاز لحظه‌ای استفاده کردایم [۷]. اگر  $(t)$  سیگنال نویزی دریافت شده

جدول ۱: مقادیر تئوریک ویژگی استخراج شده اول.

۱	مدولاسیون	۲	۳	۴ASK	۴PAM	۱۶QAM	۲PSK
$J$	-۱	-۰.۶۸	-۰.۳۷	.	-	-	-

اگر  $R_{ff}$  ماتریس خودهمبستگی سیگنال دریافتی با ابعاد  $m \times m$  (مقدار  $m$  با توجه به طول پنجره ورودی و تعداد نمونه‌های موجود در فرآیند میانگین گیری به دست می‌آید)،  $R_{ss}$  ماتریس خودهمبستگی سیگنال ارسالی و  $R_{nn}$  ماتریس خودهمبستگی نویز کانال فرض شود، SVD ماتریس  $R_{ff}$  به صورت زیر خواهد بود

$$R_{ff} = R_{ss} + R_{nn} = V(\Lambda_s + \Lambda_n)V^T = V\Lambda_f V^T \quad (۴)$$

در این رابطه  $V$  ماتریسی است که در آن  $V^T V = I_{m \times m}$  بوده و  $\Lambda_s = diag(D_1, D_2, \dots, D_p, \dots, D_m)$  یک ماتریس قطری با  $p$  عنصر غیر صفر و  $m-p$  صفر در قطر اصلی می‌باشد.  $\Lambda_n = diag(\sigma_n^1, \sigma_n^2, \dots, \sigma_n^m)$  نیز یک ماتریس قطری با عناصر مساوی با واریانس نویز و  $\Lambda_f = \Lambda_s + \Lambda_n$  برابر با  $\Lambda_f = diag(D_1 + \sigma_n^1, D_2 + \sigma_n^2, \dots, D_p + \sigma_n^p, \dots, D_m + \sigma_n^m)$  برای تخمین توان، ابتدا ماتریس خودهمبستگی سیگنال دریافتی و سپس SVD این ماتریس محاسبه می‌شود. از عناصر ماتریس قطری  $\Lambda_f$ ،  $\Lambda_p$  عنصر مربوط به زیرفضای سیگنال و  $m-p$  عنصر انتهایی متعلق به زیرفضای نویز می‌باشد. برای جداسازی این دو زیرفضا، برداری تعریف می‌شود که عناصر آن از تفاصل دو مقدار مجاور قطر  $\Lambda_f$  تشکیل شده است.

با توجه به ماتریس  $\Lambda_f$  در حالت ایده‌آل، بردار تفاضلی تعریف شده در عنصر  $p$  ام تغییر ناگهانی خواهد داشت که می‌توان از طریق آن به مقدار  $P$  پی‌برد. در این صورت داریم

$$\sigma_n^1 = \frac{1}{m-p} \sum_{i=p+1}^m \Lambda_f(i,i) \quad (5)$$

$$s = \frac{1}{m} \sum_{i=1}^p (\Lambda_f(i,i) - \sigma_n^1) \quad (6)$$

پس از تخمین توان سیگنال ارسالی ( $s$ ) و با محاسبه مقدار دامنه لحظه‌ای از روی سیگنال دریافتی، ویژگی تعریف شده قابل محاسبه است. از آنجا که برای طراحی طبقه‌بندی کننده‌های مبتنی بر سطح آستانه از مقادیر ایده‌آل ویژگی‌ها استفاده می‌شود، نیاز به محاسبه دقیق این مقادیر وجود دارد. جدول ۱ مقادیر نظری ویژگی  $J$  را برای ۴ نوع مدولاسیون این مقاله مشخص می‌کند. این مقادیر با توجه به معادلات مربوط به هر یک از مدولاسیون‌ها و در شرایط کاملاً ایده‌آل یعنی خطای تخمین توان صفر و سیگنال به نویز بینهایت به دست آمده است [۵]. همان‌طور که در جدول دیده می‌شود، این مقادیر برای ۴ کلاس این مسئله کاملاً متفاوت بوده که این تفاوت می‌تواند برای عملیات جداسازی مدولاسیون‌های مختلف و در نتیجه تشخیص نوع مدولاسیون سیگنال دریافتی به کار رود.

از آنجا که در فاز دوم مقاله بنا داریم تا ۹ مدولاسیون را از هم جداسازی کنیم، بنابراین ناگزیر به استفاده از ویژگی‌های دیگری نیز در این مرحله می‌باشیم. بدین منظور، ۸ ویژگی‌های دیگر که همه آنها به سادگی قابل استخراج از پوش سیگنال می‌باشند، مورد استفاده قرار گرفته است [۷]. جدول ۲ ویژگی‌های استفاده شده در این مرحله را نمایش می‌دهد.

## ۵- طبقه‌بندی کننده

بردار ماشین تکیه‌گاه یک الگوریتم مدل‌سازی قدرتمند است که می‌تواند در مسائل تشخیص الگو مورد استفاده قرار گیرد. این الگوریتم بر مبنای تکنیک SRM<sup>۱</sup> به حل مسائل می‌پردازد [۸]. در این تکنیک، هدف این است که با ثابت نگاهداشتن میزان ریسک خطأ، فاصله بین کلاس‌ها در فضای ویژگی حداکثر گردد. در این الگوریتم برای داده‌هایی که امکان جداسازی خطی وجود دارد، یک فوق صفحه در فضای ویژگی تعريف می‌شود و سپس پارامترهای آن بر مبنای تکنیک مذکور بهینه می‌گردند. در مسائل غیر خطی، ایده اولیه به این قرار است که بردارهای ورودی تحت یک نگاشت از قبل تعیین شده (با استفاده از یک تابع غیر خطی) به فضای ویژگی<sup>۲</sup> با ابعاد بالا انتقال یابند. برای داده‌های خطی، ابرصفحه در فضای ورودی ساخته می‌شود، اما در اینجا برای آنکه ابرصفحه را در فضای ویژگی بسازیم، لازم است ابتدا بردارهای ورودی را با استفاده از یک تابع کرنل<sup>۳</sup> به فضای  $N$  بعدی (فضای ویژگی) ببریم  $\mathcal{R}^N \rightarrow \mathcal{R}^n$ :  $\phi$ . اکنون یک ابرصفحه  $N$  بعدی خطی تفکیک کننده (مشابه روش خطی) ساخته می‌شود. با استفاده از کرنل‌های مختلف می‌توان روش‌های فرآگیری ماشینی مختلفی با انواع سطوح تصمیم‌گیری دلخواه ساخت. SVM همواره به یک مینیمم مطلق همگرا می‌شود و برخلاف سایر طبقه‌بندی‌کننده‌های هوشمند چون شبکه‌های عصبی، همواره دارای جواب یکتا خواهد بود.

دو پارامتر اصلی یک طبقه‌بندی کننده SVM، مقدار فاصله اطمینان بین کلاس‌ها و نوع کرنل استفاده شده می‌باشد. در این مقاله تابع کرنل از بین سه تابع خطی، چندجمله‌ای و گوسی انتخاب شده است که متداول‌ترین تابع کرنل می‌باشد. تابع کرنل چندجمله‌ای و گوسی هر کدام یک پارامتر مشخص کننده دارند که به ترتیب درجه چندجمله‌ای و میانگین تابع گوسی می‌باشد، اما کرنل خطی به هیچ پارامتری نیاز ندارد. نوع تابع کرنل، پارامتر مشخص کننده هر یک از توابع و نیز فاصله اطمینان بین کلاس‌ها با توجه به شرایط مسئله و با سعی و خطأ انتخاب می‌شوند که در فاز اول مقاله سعی شده است با بهینه کردن ساختار طبقه‌بندی کننده، انتخاب این مقادیر نیز به صورت هوشمندانه باشد.

## ۶- بهینه‌سازی عملکرد طبقه‌بندی کننده

روش‌های متعددی برای بهینه‌سازی عملکرد طبقه‌بندی کننده‌ها پیشنهاد شده است که یکی از روش‌های مرسوم، بهینه‌سازی ساختار طبقه‌بندی کننده با استفاده از انتخاب هوشمندانه پارامترهای ساختاری آن می‌باشد و روش دیگر مبتنی بر انتخاب بهینه ویژگی‌های مورد استفاده در عملیات جداسازی است که در این مقاله از هر دوی این روش‌ها برای بهبود عملکرد استفاده شده است. در فاز اول از روش اول و در فاز دوم از روش دوم بهره گرفته‌ایم.

در روش اول ابتدا لازم است یک تابع هدف برای الگوریتم ژنتیک مشخص گردد که معمولاً در این گونه مسائل خطای تشخیص است. پس از آن الگوریتم با تعییر مداوم پارامترهای ساختاری طبقه‌بندی کننده، ساختاری را معرفی می‌کند که دارای کمترین مقدار در تابع هدف است. در انتخاب مقادیر مربوط به پارامترهای ساختاری SVM، مقدار فاصله اطمینان به صورت عددی حقیقی در بازه  $(-8, 8)$  متغیر فرض شده است.

1. Structural Risk Minimization
2. Feature Space
3. Kernel Function

در باند میانی باشد، طبق تعریف سیگنال تحلیلی  $(t)z$  و فاز لحظه‌ای  $\phi(t)$  به صورت (۷) قابل محاسبه است

$$\begin{aligned} Z(t) &= f(t) + j\dot{f}(t) \\ \phi(t) &= \arg(Z(t)) \end{aligned} \quad (7)$$

فاز لحظه‌ای سیگنال دریافتی در حالت کلی شامل دو بخش خطی و غیر خطی می‌باشد. بخش خطی فاز به دلیل فرکانس حامل و بخش غیر خطی به دلیل تغییرات فاز در سیگنال مدوله شده به وجود می‌آید. با توجه به اینکه فرکانس حامل در عمل عدد بسیار بزرگی است، بنابراین بخش خطی فاز کاملاً بر بخش غیر خطی آن که حاصل از سیگنال پیام است غلبه دارد. اگر  $\phi(k)$  بردار فاز لحظه‌ای استخراج شده از سیگنال ورودی باشد، طبق نکات گفته شده داریم

$$\begin{aligned} \phi(k) &= \phi_{NL}(k) + \left(\frac{2\pi f_c}{f_s}\right)k = C_r + C_i k + v(k) \\ k &= 0, 1, \dots, N-1 \end{aligned} \quad (8)$$

که در آن  $\phi_{NL}$  بخش غیر خطی فاز،  $f_s$  فرکانس نمونه‌برداری سیگنال ورودی و  $C_r$  و  $C_i$  پارامترهای مدل خطی انتخاب شده می‌باشند.  $v(k)$  به صورت بردار نویز مدل شده که در واقع نمایشگر ماهیت تصادفی بخش غیر خطی فاز می‌باشد.  $N$  نیز تعداد نمونه‌های زمانی پنجره دریافتی از سیگنال باند میانی است. مدل خطی تعریف شده برای فاز لحظه‌ای دریافتی به صورت ماتریسی در (۹) بیان شده است

$$\begin{aligned} \Phi &= Hc + v \\ \Phi &= \begin{bmatrix} \phi(0) \\ \phi(1) \\ . \\ . \\ \phi(N-1) \end{bmatrix} \quad H = \begin{bmatrix} 1 & 0 \\ 0 & 1 \\ . & . \\ . & . \\ (N-1) & 1 \end{bmatrix} \quad (9) \\ c &= \begin{bmatrix} C_r \\ C_i \end{bmatrix} \quad v = \begin{bmatrix} v(0) \\ v(1) \\ . \\ . \\ v(N-1) \end{bmatrix} \end{aligned}$$

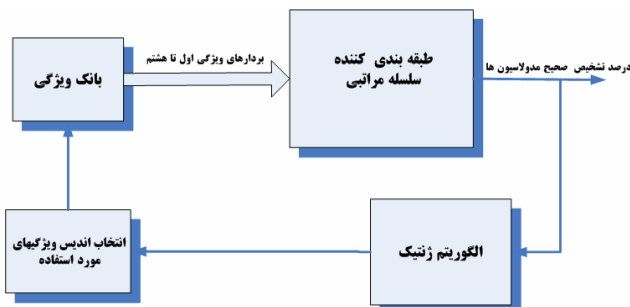
می‌دانیم که جواب تخمین LSE با داشتن ماتریس‌های  $H$  و  $\phi$  به صورت (۱۰) خواهد بود [۷]

$$c = [H^T H]^{-1} H^T \Phi \quad (10)$$

پس از تعریف مسئله به صورت یک مدل خطی از تخمین LSE برای محاسبه  $c = \begin{bmatrix} C_r \\ C_i \end{bmatrix}$  و در نتیجه فرکانس حامل که از روی  $C_r$  و از (۱۱) قابل محاسبه است، استفاده می‌کنیم

$$f_c = \frac{C_r f_s}{2\pi} \quad (11)$$

با تخمین فرکانس حامل، امکان انجام عملیات فیلترینگ روی سیگنال باند میانی دریافتی به وجود می‌آید. با انجام فیلترینگ در باند میانی، وضعیت ویژگی‌های استخراج شده از حیث توانایی در تفکیک کلاس‌ها بسیار بهبود می‌باشد. با توجه به نتایج بسیار خوب و نقش تأثیرگذار فیلتر کردن سیگنال در کیفیت ویژگی، در این مقاله نتایج نتایج شیوه‌سازی طبقه‌بندی کننده پیشنهادی با ویژگی‌های استخراجی از سیگنال فیلتر شده ارائه می‌شود.



شکل ۳: بلاک دیاگرام نحوه عملکرد بهینه‌سازی طبقه‌بندی کننده در فاز دوم.

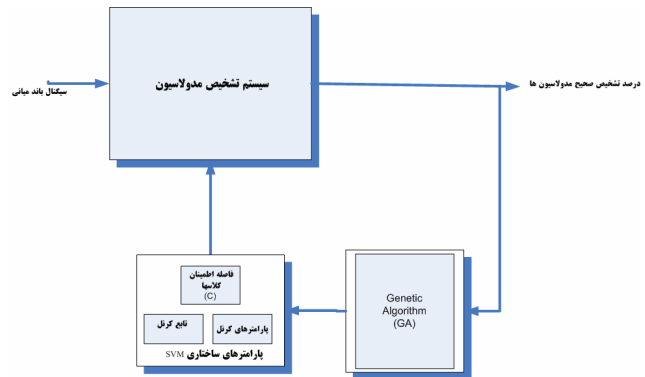
می‌توانند شامل یک یا چند عدد بین ۱ تا ۹ باشند که هر یک از اعداد بین ۱ تا ۹، اندیس ویژگی‌های مورد نیاز می‌باشند. مسئله اصلی در این فاز پیداکردن ۸ بردار ویژگی است که با اعمال آنها به طبقه‌بندی کننده‌های موجود در ساختار، میانگین خطای تشخیص حداقل شود. به صورت تئوریک اگر بخواهیم تک‌تک جواب‌های ممکن این مسئله را آزمایش کنیم با کامپیوترهای موجود به سال‌ها زمان نیاز داریم که به همین دلیل به الگوریتم‌های جستجوی تصادفی چون الگوریتم زنتیک پناه می‌بریم. در شکل ۳ بلاک دیاگرام نحوه جستجوی تصادفی عمليات انتخاب ویژگی در این فاز دیده می‌شود. برای انجام عمليات بهینه‌سازی، ابتدا یک بانک ویژگی تشکیل می‌شود. بانک ویژگی شامل همه ویژگی‌های استخراج شده از سیگنال می‌باشد که در این بخش از مقاله شامل ۹ ویژگی است. در ابتدای کار، هشت بردار تصادفی از عناصر موجود در بانک ویژگی انتخاب می‌شوند و با اعمال آنها به ساختار سلسه مراتبی، عمليات تشخیص مدولاسیون صورت می‌پذیرد. پس از انجام اين عمليات، میانگین خطای تشخیص مدولاسیون‌ها محاسبه و به عنوان تابع هدف به الگوریتم زنتیک وارد می‌شود. الگوریتم زنتیک با هدف حداقل کردن تابع هدف، اندیس ویژگی‌های پیشنهادی برای هشت بردار نسل بعد را تولید کرده و آن ویژگی‌ها از بانک ویژگی انتخاب می‌گردند. عمليات تشخیص مدولاسیون با بردارهای جدید صورت می‌گیرد و اين چرخه تا رسیدن به یک حداقل قابل قبول در تابع هدف ادامه می‌پابد.

برای تضمین عملکرد صحیح الگوریتم زنتیک، انتخاب مناسب پارامترهای ساختاری آن چون تعداد نسل، جمعیت هر نسل، نحوه و سرعت انجام عمليات Cross-Over و غیره، امری ضروری است. انتخاب دقیق پارامترهای ساختاری الگوریتم زنتیک در سرعت همگرایی و نیز مقدار همگرایشده تأثیر بسزایی دارد. در عمل اين پارامترها با سعی و خطا تعیین می‌گردد اما در اين مقاله سعی شده است تا با استفاده از مقادير معمول اين پارامترها که از مثال‌های جبهه ابزار بهینه‌سازی نرم‌افزار MATLAB استخراج شده است، عمليات بهینه‌سازی صورت پذيرد. اندازه جمعیت ۲۰ فرد و تعداد تولید نسل به ۵۰ نسل محدود شده است.

## ۷- نتایج شبیه‌سازی

### ۱- نتایج فاز اول

برای شبیه‌سازی تکنیک‌های پیشنهادی در فاز اول، ابتدا ۴ دسته سیگنال با مدولاسیون دیجیتال ASK-2-PSK-QAM-16-PAM-4 در باند میانی تولید می‌گردد. پس از آن سیگنال‌های تولید شده از کanal AWGN عبور کرده و وارد ساختار گیرنده می‌شوند. در گیرنده ابتدا توان سیگنال‌های ارسال شده با محاسبه عناصر حاصل از تجزیه مقدار تکین تابع خودهمبستگی تخمین زده می‌شود و پس از آن ویژگی J محاسبه می‌گردد.



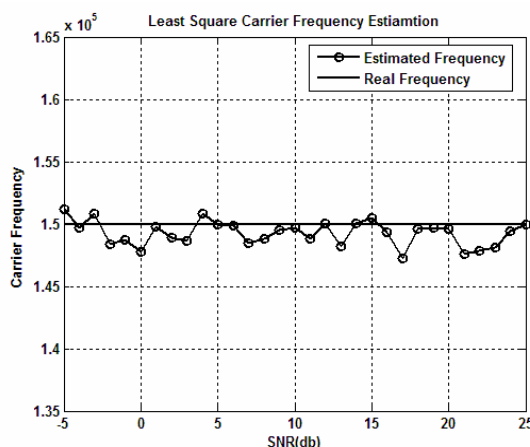
شکل ۲: بلاک دیاگرام نحوه عملکرد عمليات بهینه‌سازی طبقه‌بندی کننده SVM.

درجه چندجمله‌ای درتابع کرنل چندجمله‌ای به صورت عددی صحیح در بازه (۱-۸) و میانگین تابع گوسی در کرنل گوسی به صورت عددی حقیقی در بازه (۰-۴) متغیر می‌باشد. انتخاب بازه‌های فوق بر مبنای مقادیر پیش‌فرض انتخاب شده در برخی الگوریتم‌های تشخیص الگو بوده است [۸]. لازم به ذکر است که الگوریتم زنتیک در واقع مقادیر بهینه هر یک از پارامترها را در بازه‌های ذکر شده مشخص می‌کند نه در کل فضای اعداد حقیقی.

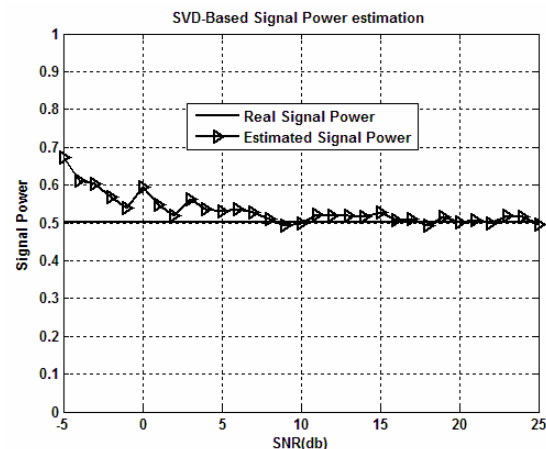
عمليات بهینه‌سازی در دو حالت و با دو تابع هدف متفاوت صورت می‌گیرد. ابتدا مقادیر فاصله اطمینان و کرنل با هدف حداقل کردن حداقل خطا تشخیص در بازه سیگنال به نویز -dB ۱۵ -dB ۰ پیدا می‌شود که آن را با نام استراتژی Min-Max می‌شناسیم. علت انتخاب بازه -dB ۰ این است که اگر داده‌های دارای سیگنال به نویز بسیار پایین (کمتر از ۰ dB) در عمليات بهینه‌سازی حضور یابند، به دلیل غلبه نویز بر سیگنال، قطعاً عملکرد ساختار بهینه‌شده مطلوب نخواهد بود. در مرحله دوم ساختار SVM با هدف حداقل کردن میانگین خطای تشخیص در بازه فوق تعیین می‌گردد که آن را با استراتژی Min-Average نام‌گذاری کرده‌ایم. در واقع هدف اين است که تا حد ممکن درصد تشخیص صحیح در ساختار بهینه‌شده نسبت به حالت اولیه بهبود یابد. در هر یک از استراتژی‌های ذکر شده، الگوریتم زنتیک ساختاری را به ما معرفی می‌کند که تابع هدف مربوط به خود را حداقل کرده باشد. همان‌طور که در ادامه خواهید دید، ساختارهای معرفی شده در دو حالت به کلی با یکدیگر متفاوت هستند. اين تفاوت بدان معناست که ساختار Min-Max نمی‌تواند میانگین خطای حداقل کند و بالعکس. شکل ۲ بلاک دیاگرام نحوه عملکرد عمليات بهینه‌سازی را نشان می‌دهد.

همان‌طور که در شکل ۲ دیده می‌شود، ابتدا الگوریتم زنتیک یک ساختار تصادفی اولیه برای طبقه‌بندی کننده SVM معرفی می‌کند و سپس عمليات تشخیص نوع مدولاسیون سیگنال باند میانی دریافتی با ساختار پیشنهادی انجام می‌شود. پس از محاسبه نتایج عمليات تشخیص مدولاسیون حداقل یا میانگین خطای تشخیص به عنوان تابع هدف به الگوریتم باز می‌گردد. الگوریتم زنتیک این مسیر را بار دیگر تکرار می‌کند و اين عمليات تا رسیدن به ساختار بهینه ادامه می‌پابد.

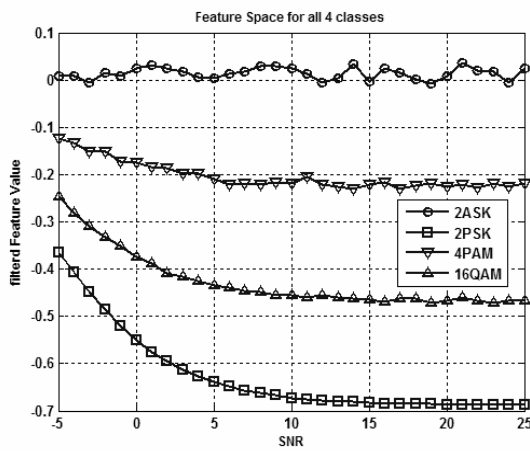
در فاز دوم مقاله که در ادامه شرح آن خواهد آمد، با یک ساختار سلسه مراتبی با ۸ طبقه‌بندی کننده مواجهیم که هر یک از ۸ طبقه‌بندی کننده موجود در ساختار دارای یک بردار ویژگی مخصوص به خود می‌باشند. تعداد ویژگی‌های استخراجی از سیگنال دریافتی ۹ ویژگی است که به صورت کاملاً کور به دست آمده و در دسترس گیرنده می‌باشند. به اين ترتیب هر یک از ۸ بردار ویژگی می‌توانند بین ۱ تا حداقل ۹ ویژگی را شامل شوند. از دید ریاضی با ۸ بردار روبرو هستیم که هر یک از آنها



شکل ۶: نمودار مقدار تخمین زده شده فرکانس حامل توسط الگوریتم LSE بر حسب SNR.



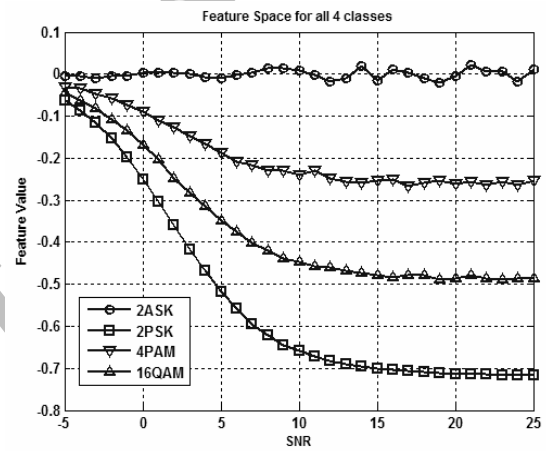
شکل ۷: نمودار مقدار تخمین زده شده توان سیگنال ارسالی توسط الگوریتم SVD بر حسب SNR.



شکل ۸: نمودار اندازه ویژگی فیلترشده برای ۴ کلاس مدولاسیون بر حسب SNR.

برای آموزش ساختار طبقه‌بندی کننده از مجموعه داده‌های دو سیگنال به نویز dB ۱۰ و ۲۰ استفاده شده است. لازم به ذکر است که در بعضی مقالات فرآیند آموزش تنها با داده‌های یک SNR صورت می‌پذیرد که این امر سبب می‌شود در مرحله آزمایش، عملکرد طبقه‌بندی کننده در داده‌های دارای سیگنال به نویز آموزش یافته بسیار خوب بوده و در قبال سایر داده‌ها به شدت افت عملکرد داشته باشد. درست به همین دلیل است که در کاربردهای عملی همواره از ترکیبی از سیگنال به نویزها برای آموزش استفاده می‌شود. برای بررسی عملکرد الگوریتم تشخیص مدولاسیون از مجموعه داده‌های آزمایش استفاده می‌شود. در هر یک از سیگنال به نویزهای بین ۵ dB-۲۵ dB که شامل ۳۱ سیگنال به نویز مختلف می‌شود، عملیات تشخیص مدولاسیون صورت گرفته است. در هر یک از مقادیر ذکر شده از هر کلاس ۱۰۰ فریم تولید شده و پس از استخراج ویژگی و عبور از طبقه‌بندی کننده، نوع مدولاسیون آنها تعیین شده است. به این ترتیب هر سیگنال به نویز حاوی ۴۰۰ سیگنال آزمایش می‌باشد که درصد تشخیص هر کلاس بر مبنای نتایج آن محاسبه می‌گردد و درصد تشخیص ( $P_c$ ) نسبت تعداد تشخیص‌های صحیح به کل تعداد سیگنال‌ها تعریف می‌شود.

به منظور بررسی نتایج [۵]، روش به کار رفته در آن که استفاده از طبقه‌بندی کننده سطح آستانه‌ای دینامیک برای جداسازی مدولاسیون‌ها است، شبیه‌سازی شده است. در طبقه‌بندی کننده سطح آستانه‌ای دینامیک از یک ساختار درختی برای انجام عملیات تشخیص استفاده می‌شود. در این ساختار هر کلاس با اعمال یک سطح آستانه روی ویژگی

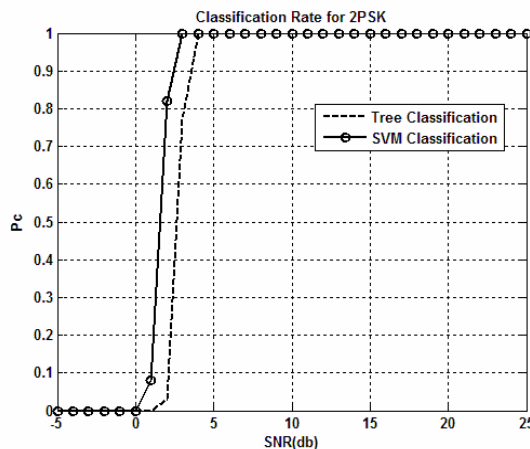


شکل ۹: نمودار اندازه ویژگی استخراج شده برای ۴ کلاس مدولاسیون بر حسب SNR.

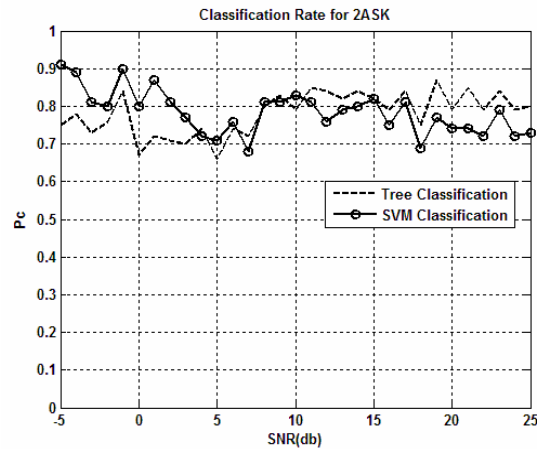
شکل ۴ نمودار توان سیگنال ارسال شده برای مدولاسیون ۲-ASK که با الگوریتم SVD تخمین زده شده است را در مقایسه با توان واقعی ارسال شده بر حسب SNR نمایش می‌دهد. در شبیه‌سازی الگوریتم SVD، مقدار پارامتر  $m$  که ابعاد ماتریس خودهمبستگی را مشخص می‌کند، با سعی و خطأ ۱۶ انتخاب گردیده است. انتخاب مقادیر بزرگ برای این پارامتر سبب کاهش دقت عملیات میانگین‌گیری و انتخاب مقادیر بسیار کوچک برای آن، سبب کاهش دقت در تشخیص نقطه تغییر و عدد  $p$  خواهد شد.

شکل ۵ ویژگی استخراج شده  $J$  را برای ۴ کلاس مدولاسیون موجود، نمایش می‌دهد. همان‌طور که در شکل نیز دیده می‌شود، با کاهش قابلیت تفکیک کلاس‌ها کاهش یافته و قطعاً درصد تشخیص صحیح نیز کاهش خواهد یافت.

همان‌طور که پیش از این اشاره شد، به منظور افزایش قابلیت جداسازی ویژگی، عملیات فیلترینگ بر روی سیگنال دریافتی صورت می‌پذیرد. برای فیلترینگ، نیاز به تخمین فرکانس حامل دارد. شکل ۶ تخمین فرکانس حامل را که با استفاده از تخمین LSE محاسبه شده است در مقایسه با فرکانس حامل واقعی نشان می‌دهد. این نمودار برای مدولاسیون ۲ASK رسم شده است اما در مورد سایر مدولاسیون‌ها نیز نتایج عملیات تخمین به صورت مشابهی به دست می‌آید. در شکل ۷ ویژگی استخراجی  $J$  که این بار از سیگنال فیلترشده استخراج شده است نمایش داده شده است. مقایسه این نمودار با شکل ۵ که حالت فیلترنشده ویژگی بود، بهبود کیفیت ویژگی را ثابت می‌کند.



شکل ۹: نمودار درصد تشخیص مدولاسیون ۲PSK بر حسب SNR.



شکل ۸: نمودار درصد تشخیص مدولاسیون ۲ASK بر حسب SNR.

جدول ۴: ماتریس تداخل ۴ نوع مدولاسیون، در طبقه‌بندی کننده SVM و در سیگنال به نویز .۳ dB

	۲ASK	۲PSK	۴PAM	۱۶QAM
۲ASK	۷۰	۰	۳۰	۰
۲PSK	۰	۷۷	۰	۲۳
۴PAM	۲۰	۰	۷۹	۱
۱۶QAM	۰	۰	۱۳	۸۷
	۲ASK	۲PSK	۴PAM	۱۶QAM
۲ASK	۷۳	۰	۲۷	۰
۲PSK	۰	۱۰۰	۰	۰
۴PAM	۶	۰	۹۳	۱
۱۶QAM	۰	۰	۱	۹۹

است که با توجه به کوربودن گیرنده قابل توجه است. همان‌طور که از مقایسه نتایج SVM با طبقه‌بندی کننده مبتنی بر سطح آستانه در جدول ۳ دیده می‌شود، درصد تشخیص مدولاسیون ۴PAM ۲۷٪ و درصد تشخیص مدولاسیون ۱۶QAM ۲٪ نسبت به نویز بالاتر است. در مجموع نیز درصد تشخیص کل در این سیگنال به نویز ۲٪ نسبت به درصد تشخیص کل در روشن مبتنی بر ساختار درختی مورد استفاده در [۵] بیشتر است. در جدول ۴ نیز همان‌طور که پیداست، طبقه‌بندی کننده SVM در سیگنال به نویزهای پایین برتری محسوسی بر سیگنال به نویز ۱۳٪ نسبت به درصد تشخیص کل در این شرایط بالاتر است.

اشکال ۸ تا ۱۲ نمودار درصد تشخیص صحیح مدولاسیون‌ها ( $P_c$ ) را بر حسب SNR در طبقه‌بندی کننده‌های سطح آستانه‌ای و SVM برای هر چهار مدولاسیون مقاله نمایش می‌دهد. در این اشکال، نتایج روش سطح آستانه‌ای [۵] که مبتنی بر یک ساختار درختی می‌باشد، در این اشکال، نتایج Tree Classification است. همان‌طور که از نمودارها نیز پیداست، طبقه‌بندی کننده SVM درایی برتری محسوسی به ویژه در سیگنال به نویزهای کمتر از ۵ dB می‌باشد. این برتری در مدولاسیون‌های ۲ASK و ۴PAM به واضح قابل مشاهده است.

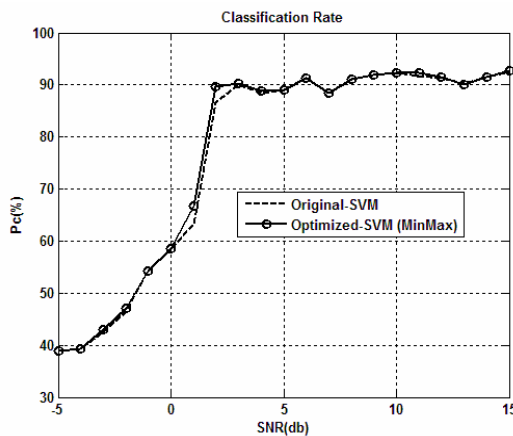
جدول ۳: ماتریس تداخل ۴ نوع مدولاسیون در طبقه‌بندی کننده SVM و در سیگنال به نویز .۳ dB

	۲ASK	۲PSK	۴PAM	۱۶QAM
۲ASK	۷۹	۰	۲۱	۰
۲PSK	۰	۱۰۰	۰	۰
۴PAM	۱۹	۰	۷۸	۳
۱۶QAM	۰	۰	۲	۹۸
	۲ASK	۲PSK	۴PAM	۱۶QAM
۲ASK	۷۷	۰	۲۳	۰
۲PSK	۰	۱۰۰	۰	۰
۴PAM	۷	۰	۸۶	۷
۱۶QAM	۰	۰	۰	۱۰۰

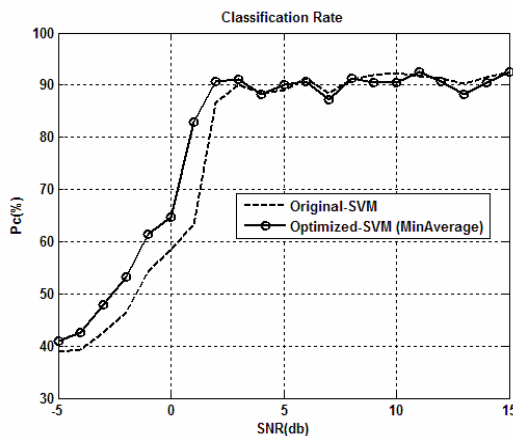
استخراج شده از کلاس‌های دیگر جدا می‌شود. تفاوت این روش با سایر ساختارهای سطح آستانه‌ای معمول این است که مقادیر سطح آستانه ثابت نبوده و می‌توانند بر حسب داده‌های آموزشی و در فرآیند آموزش تغییر کنند.

در اولین مرحله از شبیه‌سازی، نتایج ساختار طبقه‌بندی کننده SVM مورد بررسی قرار می‌گیرد. همان‌طور که پیش از این نیز ذکر شد، SVM دارای دو پارامتر ساختاری می‌باشد؛ فاصله اطمینان کلاس‌ها وتابع کرنل مورد استفاده برای نگاشت. در ابتدا مقادیر این دو پارامتر ساختاری را به صورت تجربی انتخاب می‌کنیم. با توجه به اینکه تابع کرنل گوسی بیشترین کاربرد را در مقایسه با سایر کرنل‌ها دارد، از این تابع در شبیه‌سازی اولیه استفاده شده است. پارامتر فاصله اطمینان، ۰.۵ و میانگین تابع گوسی نیز ۰.۵ انتخاب شده است که مقادیری متداول برای این دو کمیت می‌باشند [۸]. به منظور بررسی عملکرد، از همان مجموعه داده‌های آموزش و آزمایش پیشین که در طبقه‌بندی کننده درختی استفاده شد، بهره گرفتیم.

جدوال ۳ و ۴ نتایج عملیات تشخیص مدولاسیون با SVM را در  $\text{SNR} = ۳ \text{ dB}$  و  $\text{SNR} = ۱۰ \text{ dB}$  در مقایسه با روش سطح آستانه‌ای دینامیک نشان می‌دهند. قسمت بالای جداول نتایج طبقه‌بندی کننده سطح آستانه‌ای و قسمت پایین نتایج طبقه‌بندی کننده SVM می‌باشد. با استفاده از این جداول درصد تشخیص درست در  $\text{SNR} = ۱۰ \text{ dB}$  با استفاده از طبقه‌بندی کننده SVM برای مدولاسیون ۲ASK ۷۷٪، برای مدولاسیون ۲PSK ۰٪، برای ۴PAM ۷٪ و برای ۱۶QAM ۷٪ محسوسی می‌گردد. میانگین صحبت تشخیص برای کلاس‌ها نیز



شکل ۱۳: نمودار درصد تشخیص کل برای دو ساختار متفاوت از طبقه‌بندی‌کننده SVM. ساختار اولیه غیر بهینه و ساختار بهینه شده توسط الگوریتم ژنتیک با معیار .Min-Max



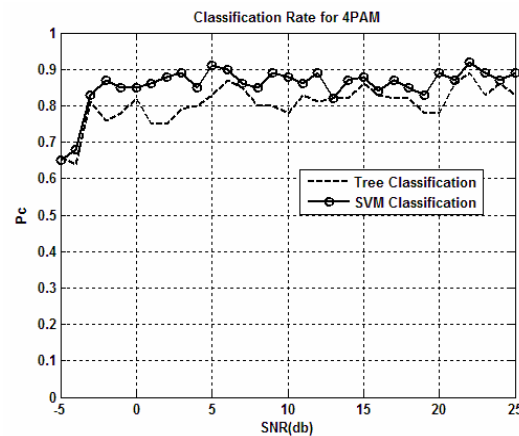
شکل ۱۴: نمودار درصد تشخیص کل برای دو ساختار متفاوت از طبقه‌بندی‌کننده SVM. ساختار اولیه غیر بهینه و ساختار بهینه شده توسط الگوریتم ژنتیک با معیار .Min-Average

جدول ۵: ساختار بهینه تولیدی الگوریتم ژنتیک برای طبقه‌بندی‌کننده SVM با دو معیار MIN-AVERAGE و MIN-MAX

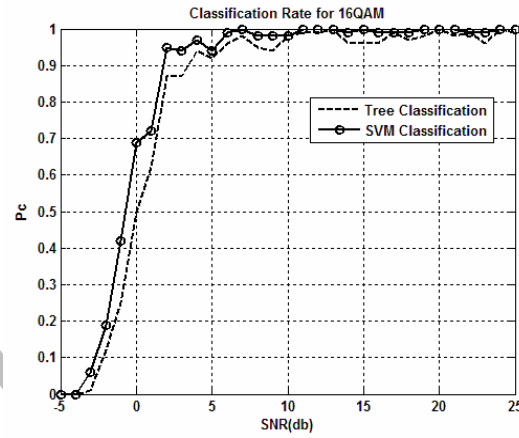
پارامتر کرnel	نوع کرnel	فاصله اطمینان	استراتژی
۰/۵	گوسی	۰/۵	ساختار اولیه
۱/۲۸۳۵	گوسی	۰/۱۱۸۱	Min-Max
-	خطی	۰/۰۳۹۴	Min-Ave

دوم با استراتژی Min-Average رسم شده است. همان‌طور که بهوضوح دیده می‌شود، استراتژی دوم در مقایسه با حالت اول عملکرد بسیار قوی‌تری داشته و بهبود بیشتری در نمودار صحت تشخیص ایجاد نموده است. در سیگنال به نویزهای بالاتر از ۵ dB هر دو استراتژی تقریباً یکسان عمل کرده و تفاوت قابل ملاحظه‌ای با ساختار اولیه از خود نشان نمی‌دهند. اما در سیگنال به نویزهای پایین، استراتژی اول به طور میانگین ۱۵٪ و استراتژی دوم ۶٪ درصد تشخیص را افزایش داده‌اند. در جدول ۵ مشخصات ساختار اولیه و دو ساختار پیشنهادی الگوریتم ژنتیک برای دو معیار مختلف بهینه‌سازی ارائه شده است.

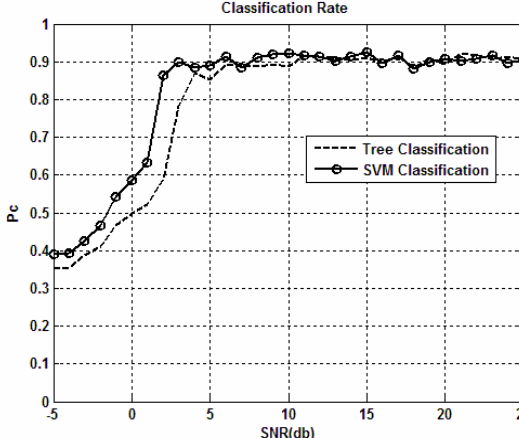
ساختار پیشنهادی حاصل از استراتژی بهینه‌سازی Min-Max دارای یکتابع کرnel گوسی با میانگین ۱/۲۸۳۵ و مقدار ثابت ۰/۱۱۸۱ بوده که شبیه به ساختار اولیه می‌باشد. این شباهت می‌تواند تفاوت اندک دقت تشخیص را در این استراتژی نسبت به ساختار اولیه توجیه کند. در سوی



شکل ۱۵: نمودار درصد تشخیص مدولاسیون ۴PAM بر حسب SNR.



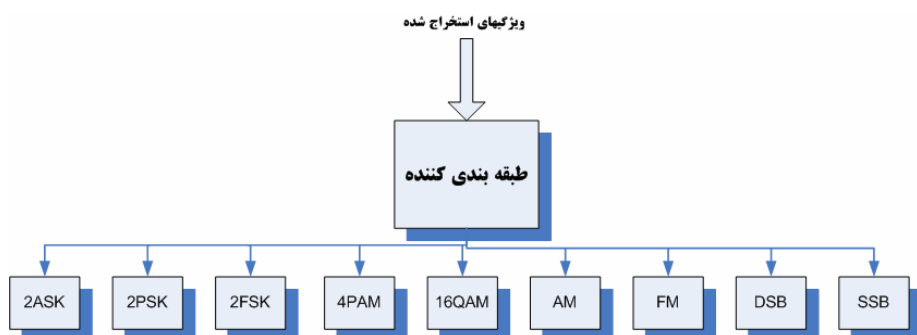
شکل ۱۶: نمودار درصد تشخیص مدولاسیون ۱۶QAM بر حسب SNR.



شکل ۱۷: نمودار درصد تشخیص کل چهار مدولاسیون بر حسب SNR.

میزان بهبود درصد تشخیص کل که از شکل ۱۲ قابل محاسبه است، در بازه سیگنال به نویزهای بین (-۵ dB, ۲۵ dB) به طور میانگین ۳/۲٪ می‌باشد که این بهبود در سیگنال به نویزهای کمتر از ۵ dB محسوبه شده است.

در ادامه فاز اول تلاش شده است تا با بهینه‌سازی ساختار SVM به درصد تشخیص بالاتری دست یابیم. همان‌طور که پیش از این نیز ذکر شد، عملیات بهینه‌سازی با دو معیار متفاوت Min-Max و Min-Average صورت می‌گیرد که در اولی حداکثر خطأ و در دومی میانگین خطأ به عنوان تابع هدف الگوریتم ژنتیک حداقل می‌شود. در شکل ۱۳ نمودار درصد تشخیص صحیح برای ساختار بهینه شده با استراتژی Min-Max و در شکل ۱۴ همین نمودار برای ساختار بهینه شده



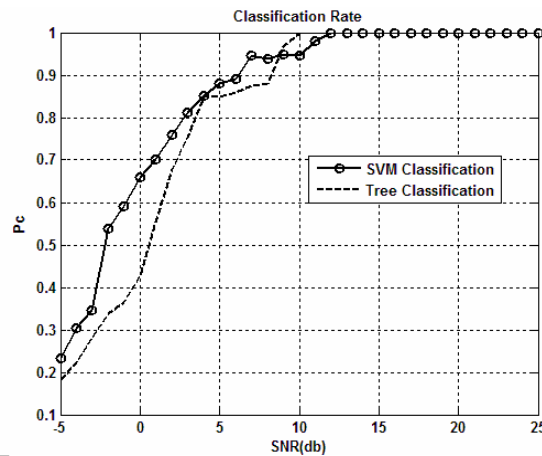
شکل ۱۵: بلاک دیاگرام الگوریتم تشخیص مدولاسیون در مرحله اول از فاز دوم.

میانگین درصد تشخیص صحیح مدولاسیون‌ها در بازه  $(-5 \text{ dB}, 25 \text{ dB})$  برابر  $85\%$  و میانگین درصد تشخیص در سیگنال به نویزهای کمتر از  $5 \text{ dB}$ , برابر  $60\%$  به دست می‌آید. با وجود بهبود مناسب دقت تشخیص در این طبقه‌بندی کننده نسبت به ساختار درختی به ویژه در سیگنال به نویزهای پایین، مشکل پیچیدگی فضای ویژگی و آموزش نامناسب ساختار همچنان وجود دارد که در ادامه بدان خواهیم پرداخت.

یکی از تکنیک‌های موجود برای حل مشکل آموزش نامناسب ساختارهای طبقه‌بندی کننده، استفاده از ساختارهای سلسه مراتبی می‌باشد. در یک ساختار سلسه مراتبی از طبقه‌بندی کننده‌ها، خروجی‌های هر مرحله به چند سوپرکلاس تقسیم می‌شوند که می‌تواند شامل یک یا چند کلاس مختلف باشد. در جداسازی کلاس‌های مختلف ابتدا دو یا چند سوپرکلاس تشکیل می‌گردد که هر یک وارد طبقه‌بندی کننده بعدی می‌شوند. طبقه‌بندی کننده بعدی نیز به همین ترتیب آن را به چند بخش تقسیم می‌کند و این کار تا رسیدن به سوپرکلاس‌هایی با یک عضو ادامه می‌یابد. به عبارت دیگر به جای تشخیص همه کلاس‌ها با استفاده از یک طبقه‌بندی کننده و در یک مرحله، عملیات جداسازی توسط چند طبقه‌بندی کننده و در چندین مرحله صورت می‌پذیرد. استفاده از ساختارهای سلسه مراتبی سبب می‌شود که در مسأله جداسازی کلاس‌های مختلف به جای اینکه عملیات تشخیص توسط یک ساختار طبقه‌بندی کننده پیچیده و حجمی که دارای سرعت آموزش کم و خطای آموزش بالاست صورت پذیرد، از چند طبقه‌بندی کننده ساده که دارای سرعت آموزش بالا و خطای آموزش اندک می‌باشند، استفاده کنیم. این امر سبب می‌شود که در نهایت درصد تشخیص کلاس‌های مختلف در ساختارهای سلسه مراتبی به صورت قابل توجهی بهبود یابد. علاوه بر این ساختارهای سلسه مراتبی می‌توانند در کاهش بعد فضای ورودی نیز مؤثر باشند.

در یک ساختار سلسه مراتبی، هر طبقه‌بندی کننده می‌تواند بردار ورودی مخصوص به خود را داشته باشد و نیازی نیست که همه طبقه‌بندی کننده‌ها با همه ویژگی‌های استخراجی آموزش یابند. به عبارت دیگر هر طبقه‌بندی کننده با ویژگی‌هایی که برای انجام عملیات جداسازی آن طبقه‌بندی کننده مؤثر هستند آموزش می‌یابد، نه همه ویژگی‌های استخراج شده. این امر سبب افزایش سرعت آموزش طبقه‌بندی کننده‌ها و به تبع آن کاهش خطای آموزش و آزمایش ساختار طبقه‌بندی کننده می‌شود.

در این مرحله برای انجام عملیات تشخیص مدولاسیون از یک ساختار سلسه مراتبی با ۸ طبقه‌بندی کننده استفاده کردند. همان‌طور که در شکل ۱۷ دیده می‌شود، این ساختار در ۵ مرحله عملیات تشخیص را انجام می‌دهد. استفاده از ۸ طبقه‌بندی کننده سبب می‌شود که هر یک از آنها تنها عملیات جداسازی بین دو سوپرکلاس را انجام دهند که این امر در



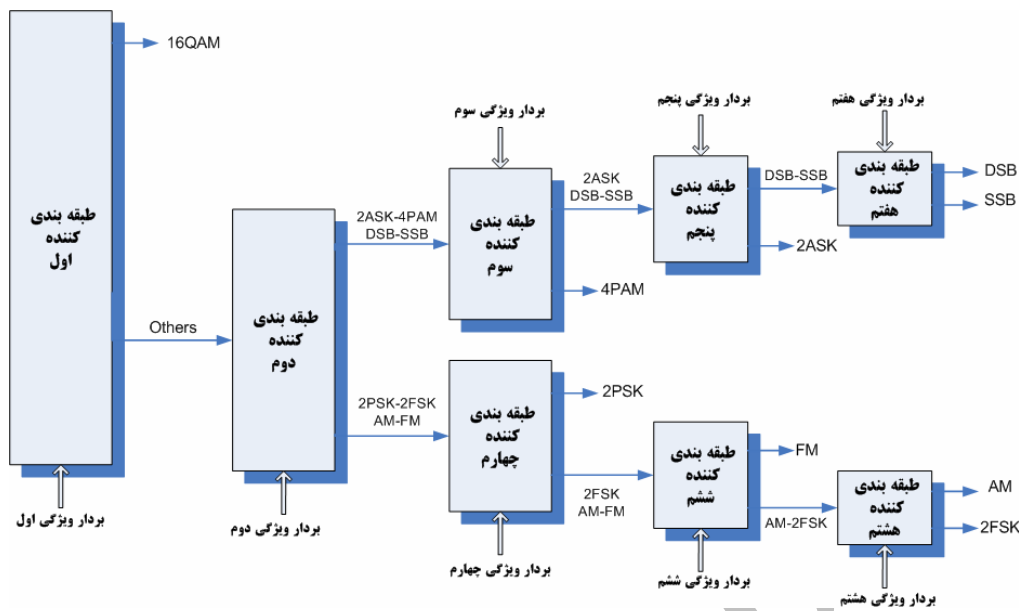
شکل ۱۶: نمودار درصد تشخیص صحیح کل در ساختار طبقه‌بندی کننده SVM بر حسب SNR.

مقابل ساختار پیشنهادی الگوریتم ژنتیک با استراتژی بهینه‌سازی Min-Average دارای یکتابع کرنل خطی است که پارامتر دیگری ندارد و مقدار ثابت فاصله اطمینان  $0.0394$  به دست آمده است. این ساختار از آنجا که به طور کلی با ساختار اولیه متفاوت است، انتظار داریم عملکرد متفاوتی نیز از خود بروز دهد که این امر می‌تواند نتایج مناسب این ساختار را مخصوصاً در سیگنال به نویزهای پایین توجیه نماید.

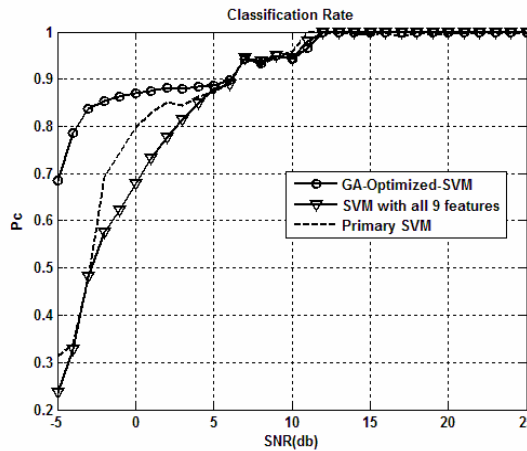
## ۲-۷ نتایج فاز دوم

همان‌طور که پیش از این ذکر شد، در این فاز از مقاله عملیات جداسازی مدولاسیون‌ها در شرایطی صورت می‌گیرد که ۹ مدولاسیون دیجیتال و آنالوگ در محیط حضور دارند. برای انجام عملیات تشخیص مدولاسیون، ۹ ویژگی از سیگنال باند میانی دریافتی در گیرنده استخراج می‌شود. همه این ویژگی‌ها که جزئیات نحوه استخراج آنها از سیگنال دریافتی در ابتدای مقاله آمده است، به صورت کاملاً کور و بدون نیاز به هیچ‌گونه اطلاعی از فرستنده سیگنال به دست می‌آیند. در ادامه این ویژگی‌ها وارد ساختار طبقه‌بندی کننده می‌شوند و از روی آنها نوع مدولاسیون سیگنال به دست می‌آید. در مرحله اول عملیات جداسازی مدولاسیون‌ها با استفاده از یک طبقه‌بندی کننده واحد انجام شده است. همان‌طور که در شکل ۱۵ دیده می‌شود، بردار ویژگی استخراج شده از سیگنال دریافتی، شامل ۹ ویژگی، وارد طبقه‌بندی کننده می‌شود و ساختار طبقه‌بندی کننده که یک SVM است، در یک مرحله نوع مدولاسیون سیگنال را تشخیص می‌دهد. نتایج عملیات جداسازی با طبقه‌بندی کننده متداول درختی مقایسه شده است.

در شکل ۱۶ نمودار دقت تشخیص مدولاسیون‌ها بر حسب SNR در ساختار طبقه‌بندی کننده SVM رسم شده است. با استفاده از این نمودار،



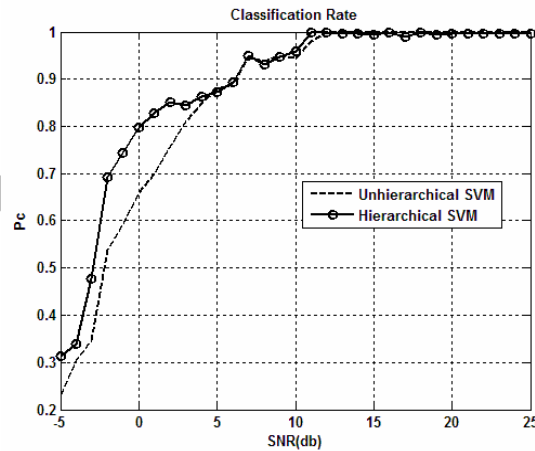
شکل ۱۷: بلاک دیاگرام ساختار سلسله مراتبی از طبقه بندی کننده ها.



شکل ۱۹: نمودار درصد تشخیص صحیح کل در ساختار سلسله مراتبی طبقه بندی کننده بهینه شده با الگوریتم زنگیک بر حسب SVM.

اندیس های پیشنهادی GA با آنچه از تجربه کاربر پیداست، هم پوشانی دارد. البته در مواردی نیز GA، تعداد و نیز اندیس ویژگی ها را به کلی تغییر داده است. به هر صورت تنها راه برای آزمایش عملکرد صحیح پیشنهادهای GA، انجام عملیات طبقه بندی با ویژگی های مذکور و مقایسه آن با طبقه بندی کننده اولیه مبتنی بر ویژگی های تجربی می باشد. در شکل ۱۹ نتایج عملیات طبقه بندی با استفاده از ویژگی های پیشنهادی GA آمده است. برای مقایسه عملکرد، از دو وضعیت دیگر در انتخاب ویژگی ها بهره گرفته ایم. وضعیت اول حالتی است که در آن ویژگی های انتخابی به صورت تجربی و بر مبنای شناخت کاربر از هر یک استفاده شده است (همان مقادیر اولیه موجود در جدول ۶) و وضعیت دوم حالتی است که از همه ۹ ویژگی برای همه طبقه بندی کننده ها استفاده شده است.

همان طور که از نتایج پیداست، عملیات بهینه سازی انتخاب ویژگی به صورت فوق العاده ای عملکرد ساختار سلسله مراتبی را بهبود داده است. با استفاده از این شکل، این نکته به وضوح قابل مشاهده است که ساختاری با حداقل تعداد ویژگی ممکن (۹ ویژگی در هر ۸ بردار) لزوماً ساختار بهینه از حیث حداقل خطای نیست. میانگین درصد تشخیص صحیح مدولاسیون ها در ساختار بهینه شده با الگوریتم زنگیک در بازه (۲۵ dB, ۰ dB) با ۵/۵٪



شکل ۱۸: نمودار درصد تشخیص صحیح کل در ساختار سلسله مراتبی طبقه بندی کننده بر حسب SVM.

بالارفتن سرعت آموزش شبکه ها و کاهش خطای آنها بسیار مؤثر است. هر یک از ۸ طبقه بندی کننده موجود دارای یک بردار ویژگی مخصوص به خود می باشند.

در شکل ۱۸ نمودار دقیق تشخیص مدولاسیون ها بر حسب SNR در ساختار سلسله مراتبی از بردارهای ماشین تکیه گاه رسم شده است. با استفاده از این نمودار، میانگین درصد تشخیص صحیح مدولاسیون ها در بازه (-۵ dB, ۲۵ dB) با ۲/۹٪ بهبود نسبت به ساختار غیر سلسله مراتبی، برابر ۸۷/۹٪ و میانگین درصد تشخیص در سیگنال به نویزهای کمتر از ۵ dB برابر ۶۵/۴٪ به دست می آید.

همان طور که پیش از این نیز ذکر شد، برای بهینه سازی عملکرد ساختار سلسله مراتبی در این فاز از الگوریتم زنگیک برای انتخاب ویژگی های بهینه از میان تمام ویژگی های موجود در بانک ویژگی که در این بخش ۹ ویژگی متفاوت است، استفاده کرده ایم. از آنجا که در ساختار سلسله مراتبی با هشت بردار ویژگی متفاوت (هر طبقه بندی کننده یک بردار) روبرو هستیم، الگوریتم زنگیک نیز ۸ بردار متفاوت به ما معرفی کرده است. جدول ۶ اندیس ویژگی های پیشنهادی الگوریتم زنگیک و نیز اندیس های اولیه و تجربی فرض شده را برای ۸ طبقه بندی کننده ساختار نشان می دهد. همان طور که از جدول نیز پیداست، در برخی موارد

جدول عر بردارهای ویژگی انتخابی الگوریتم ژنتیک برای طبقه‌بندی کننده سلسله مرتبی SVM

بردار ویژگی	اندیس ویژگی‌های انتخابی اولیه	اندیس ویژگی‌های انتخابی توسط GA
بردار ویژگی طبقه‌بندی کننده اول	۵	۳
بردار ویژگی طبقه‌بندی کننده دوم	۱	۴، ۵، ۸
بردار ویژگی طبقه‌بندی کننده سوم	۵	۱، ۲، ۳، ۴، ۵، ۷
بردار ویژگی طبقه‌بندی کننده چهارم	۳	۲، ۳، ۴، ۸، ۶
بردار ویژگی طبقه‌بندی کننده پنجم	۱	۱، ۵، ۶، ۷
بردار ویژگی طبقه‌بندی کننده ششم	۳	۲، ۳، ۶، ۸
بردار ویژگی طبقه‌بندی کننده هفتم	۳	۱، ۳، ۴
بردار ویژگی طبقه‌بندی کننده هشتم	۳، ۷	۲، ۳، ۴، ۵، ۶، ۸

- [6] F. Bo, C. Jun, and C. Gnag, "An algorithm of SNR estimation for non constant envelope signal in the AWGN channel," *Acta Electronica Sinica*, vol. 30, no. 1, pp. 1369-1371, Apr. 2002.
- [7] H. Stark and J. W. Woods, *Probability, Random Processes, and Estimation Theory for Engineers*, 2nd ed., Prentice-Hall, 1994.
- [8] C. J. C. Burges, "A tutorial on support vector machines for pattern recognition," *Data Mining and Knowledge Discovery*, vol. 2, no. 1, pp. 955-974, Apr. 1998.

سعید شعریاف تبریزی در سال ۱۳۸۲ مدرک کارشناسی مهندسی برق خود را از دانشگاه فردوسی و در سال ۱۳۸۵ مدرک کارشناسی ارشد مهندسی برق خود را از همان دانشگاه اخذ نمود. از سال ۱۳۸۵ تا کنون وی در دوره دکتری مخابرات گرایش سیستم در دانشگاه فردوسی در حال تحصیل است. زمینه‌های تحقیقاتی مورد علاقه ایشان عبارتند از: تشخیص الگو، محاسبات نرم و کاربردهای آن، نظریه آشوب و سیستم‌های دینامیکی و مخابرات پهن باند.

مرتضی خادمی مدرک کارشناسی خود را در گرایش الکترونیک از دانشگاه صنعتی اصفهان در سال ۱۳۶۴ اخذ نمود. نامبرده تحصیلات خود را در همان دانشگاه ادامه داده و موفق شد کارشناسی ارشد را در گرایش مخابرات در سال ۱۳۶۶ به پایان برساند. وی بالافصله پس از فراغت از تحصیل در دانشگاه فردوسی مشهد به عنوان عضو هیأت علمی استخدام گردیده و به مدت چهار سال به امر تدریس اشتغال ورزید. در سال ۱۳۷۰ برای ادامه تحصیل به کشور استرالیا عزیمت نموده و در سال ۱۳۷۴ با اخذ مدرک دکترا مراجعت نمود. هم‌اکنون نامبرده به عنوان دانشیار گروه برق دانشگاه فردوسی مشغول به کار می‌باشد. زمینه‌های تحقیقاتی مورد علاقه وی، مخابرات تصویری، فشرده سازی تصویر و صوت و پردازش سیگنال‌های پزشکی می‌باشد.

محمد مولوی کاخکی مدرک کارشناسی خود را در فیزیک الکترونیک از دانشگاه تبریز در سال ۱۳۴۹ اخذ نمود. وی تحصیلات خود را در مقاطع کارشناسی ارشد و دکترا در دانشگاه کنت کانتربيري انگلستان به ترتیب در سالهای ۱۳۵۵ و ۱۳۵۹ ادامه داد و تا ۱۳۶۲ در همان دانشگاه به عنوان محقق به کار اشتغال داشت. از سال ۱۳۶۳ وی به دانشکده مهندسی دانشگاه فردوسی پیوست و هم‌اکنون به عنوان دانشیار گروه برق دانشگاه فردوسی مشغول به کار می‌باشد. زمینه‌های تحقیقاتی مورد علاقه وی، مخابرات نوری، مخابرات دیجیتال و مخابره روی خطوط برق می‌باشد.

بهبود نسبت به ساختار سلسله مرتبی اولیه، برابر  $\frac{93}{4}$ % و میانگین درصد تشخیص در سیگنال به نویزهای کمتر از  $\frac{5}{3}$  dB با  $\frac{15}{3}$ % بهبود، برابر  $\frac{84}{7}$ % به دست می‌آید. میانگین دقت تشخیص  $\frac{70}{7}$ % در سیگنال به نویز  $\frac{5}{5}$  dB و بهبود قابل توجه عملکرد ساختار بهینه شده، نشان از اهمیت انجام عملیات بهینه‌سازی و تأثیر شگرف آن بر عملکرد ساختار سلسله مرتبی دارد.

## سپاس‌گزاری

در پایان این مقاله با سپاس از خداوند متعال به خاطر نعمات بی‌پایانی که بر ما عرضه داشته است، از استادی پژوهشکده مخابرات و کامپیوتر دانشکده مهندسی دانشگاه فردوسی که در این تحقیق کمک شایانی نمودند، تشکر می‌کنیم.

## مراجع

- [1] Y. Yang and S. S. Soliman, "A suboptimal algorithm for modulation classification," *IEEE Trans. on Aerospace and Electronic Systems*, vol. 33, no. 1, pp. 38-45, Jan. 1997.
- [2] W. Wei and M. Mendel, "A new maximum - likelihood for modulation classification," in *Proc. IEEE Int. Conf. on Communications*, vol. 1, pp. 57-61, Feb. 1996.
- [3] E. Azzouz and A. Nandi, "Algorithms for automatic modulation recognition of communication signals," *IEEE Trans. on Commun.*, vol. 46, no. 4, pp. 431-436, Jan. 1998.
- [4] A. Iversen, *Classification of Digital Modulation Schemes Using Multi-Layered Perceptrons*, Ph.D Thesis, Heriot Watt University, pp. 30-35, Feb. 2004.
- [5] Q. Cai and P. Wei, "A digital modulation recognition method," in *Proc. IEEE Int. Conf. on Communications*, vol. 3, pp. 863-866, Apr. 2004.